

Foto 10.— (TD-133).— Esquisto con cristales de estaurolita. Nícales cruzados, 50 aumentos (AH1-20)

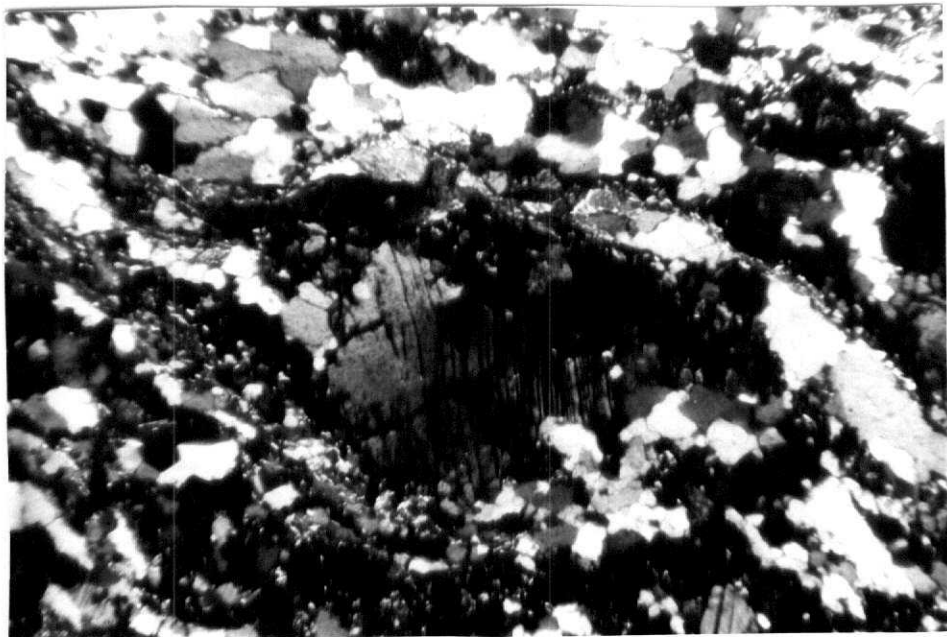


Foto 11.- (TD-139).— Glándula de plagioclasa en un neis milonítico. Nicoses cruzados, 50 aumentos (AH1-33)

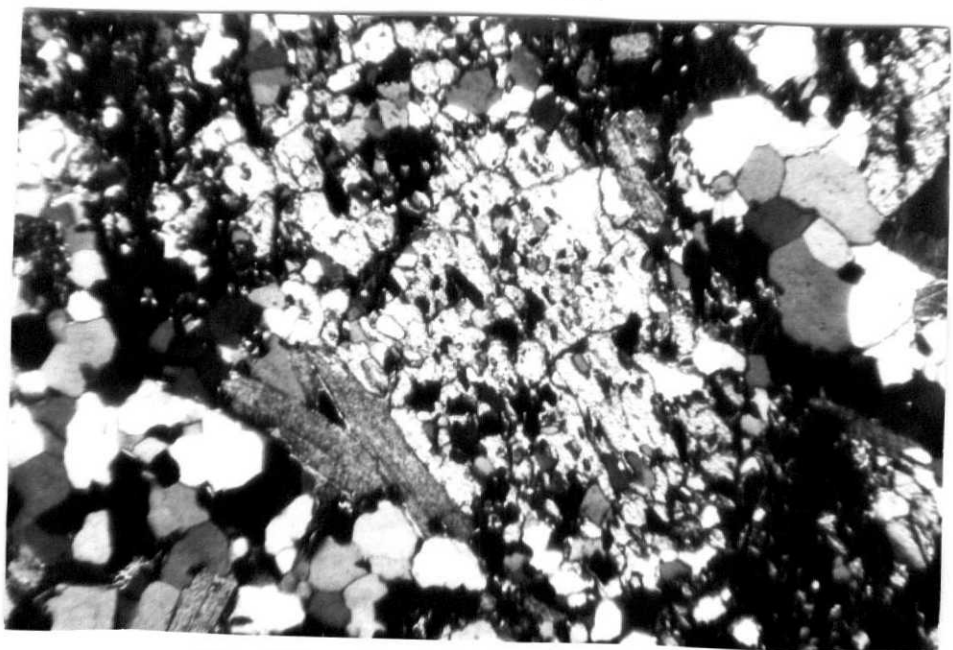


Foto 12.— (TD-132).— Esquisto estaurolítico. Cuarzo y moscovita
Nicoles cruzados, 50 aumentos (AH1-24)

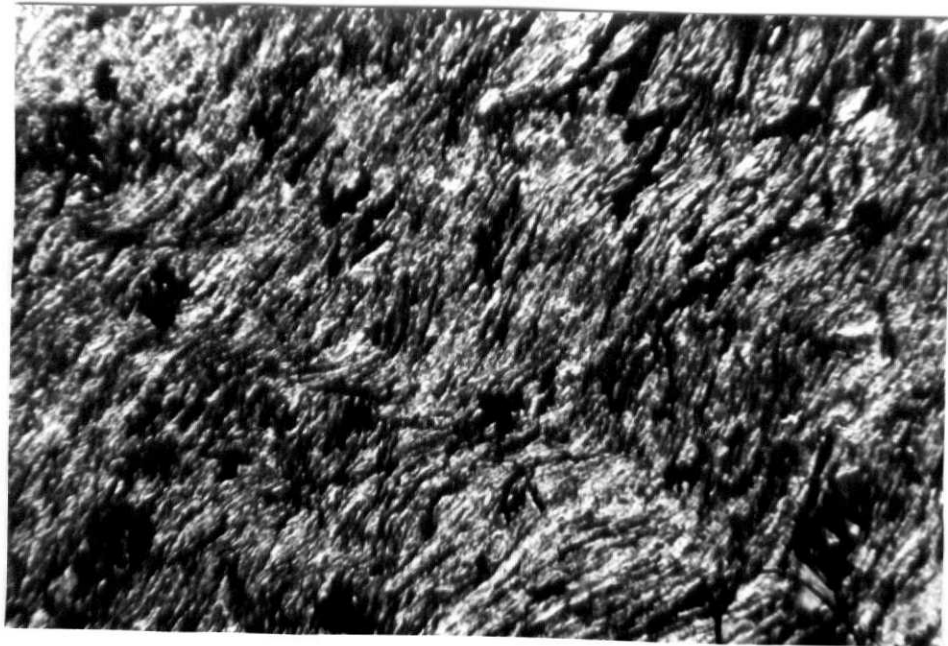


Foto 13.- (TD-158).— “Strain slip elevage” en esquisto micáceo.
Nicoles cruzados, 50 aumentos (AH1-22)

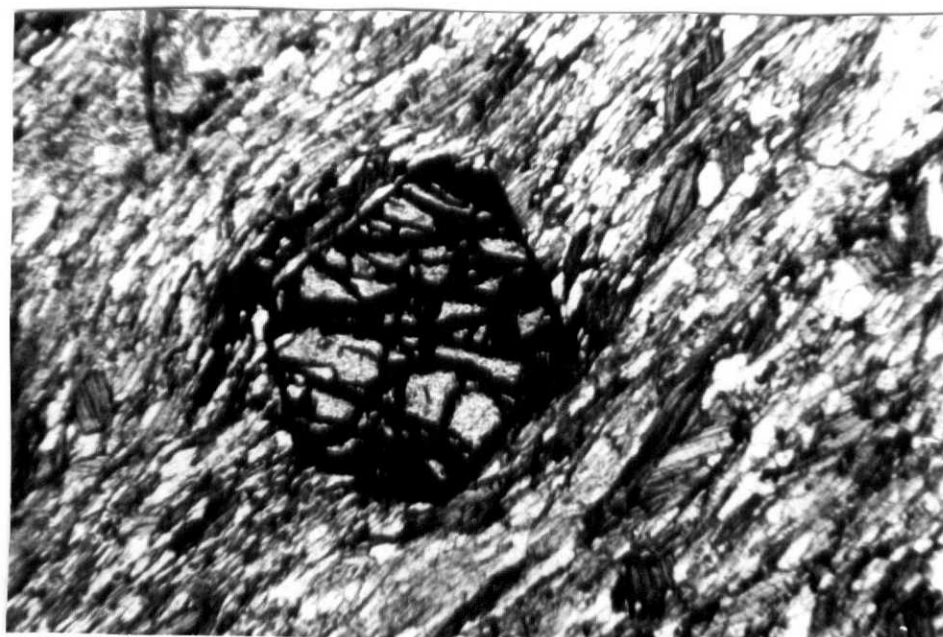


Foto 14.- (TD-352).— Granate girado dentro de los esquistos mi-
cáceos. Nicols paralelos, 50 aumentos
(AH1-21)

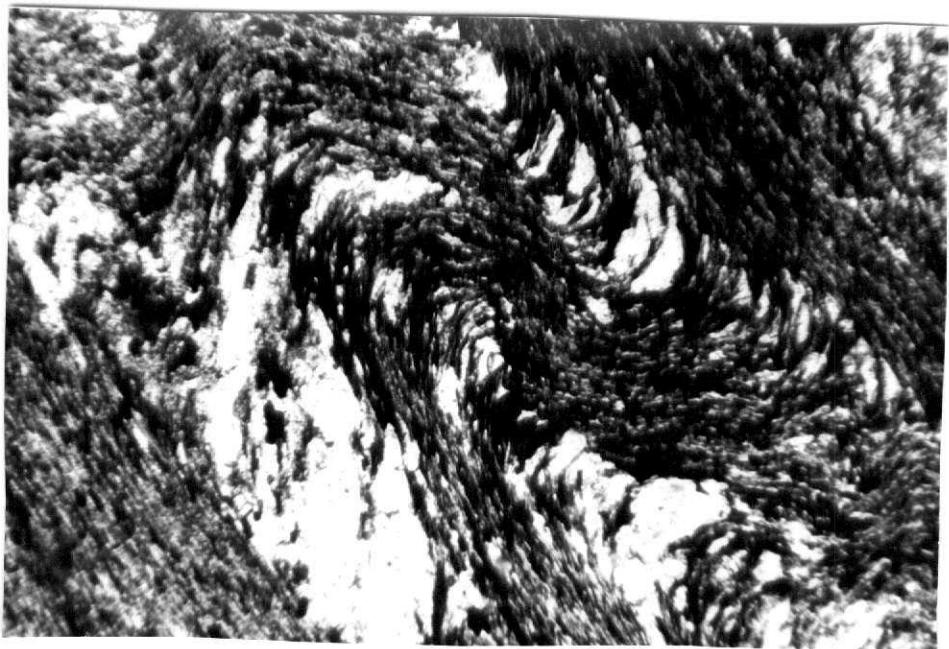


Foto 15.— (TD-345).— Strain slip cleavage en los esquistos
micáceos. Nícales cruzados, 50
aumentos (AH1-27)

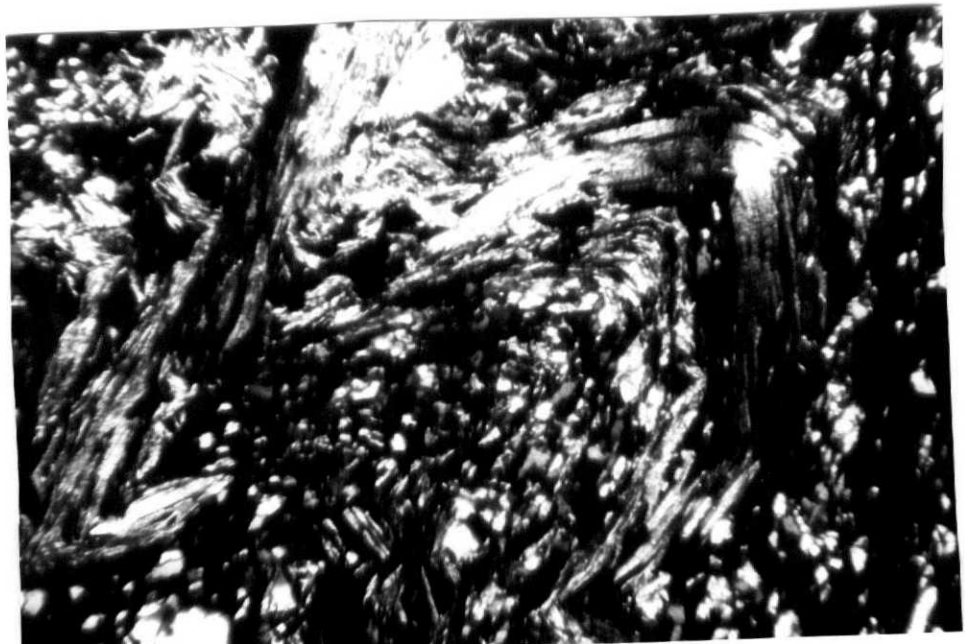


Foto 16.— (TD-160).— Esquisto micáceo crenulado. Nícales cruzados; 50 aumentos (AH1-31)

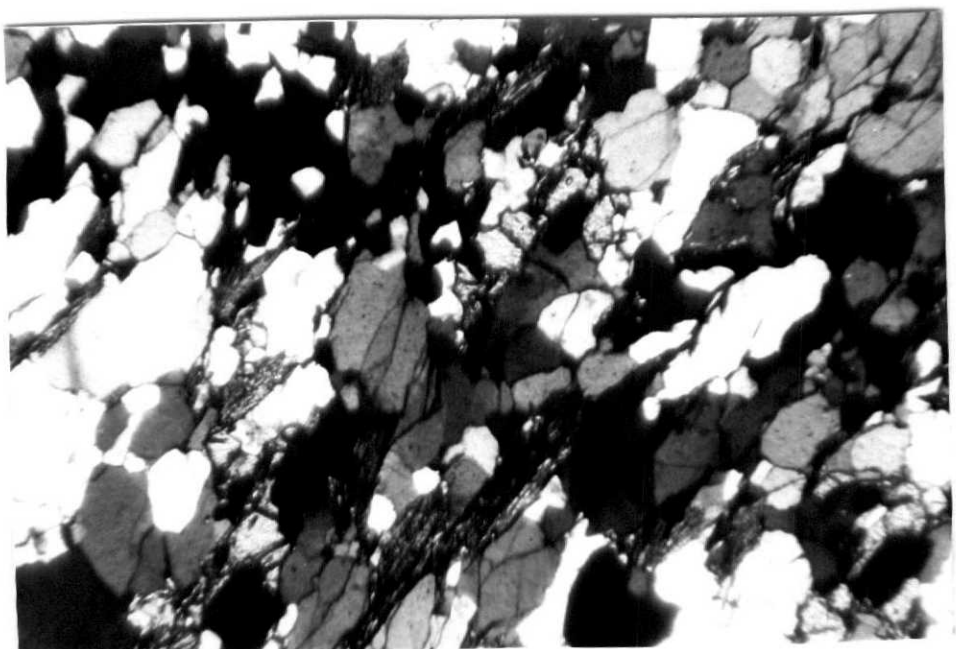


Foto 17.- (TD-131).- Textura lepidoblástica con cuarzo, biotita y estaurolita. Nicoles cruzados; 50 aumentos (AH1-29)

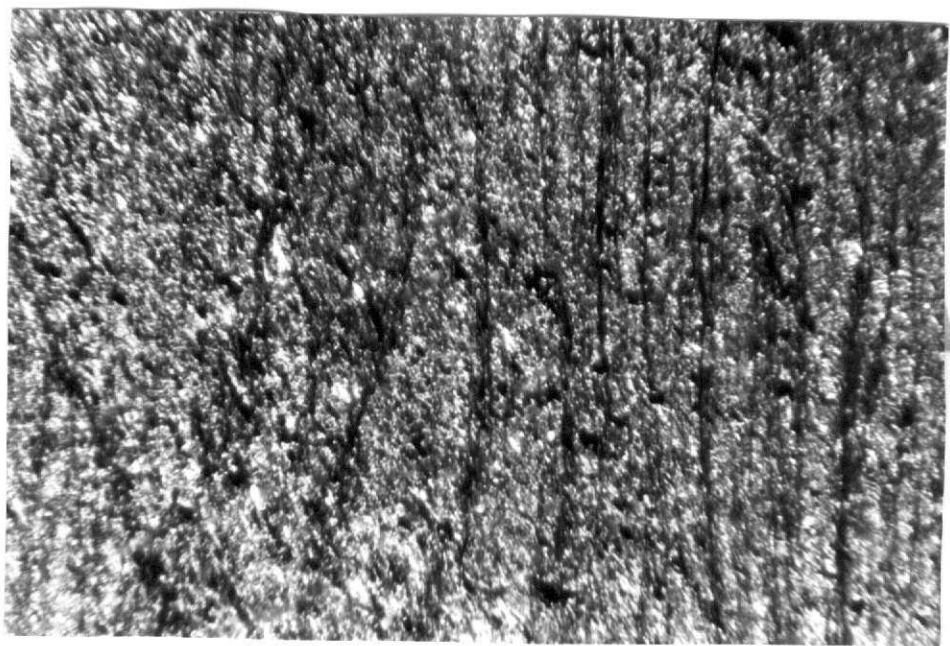


Foto 18.- (TD-36).— Pizarra serícítica mostrando dos esquistoidades. Nicotes cruzados; 50 aumentos (AH1-26)



Foto 19.- (TD-51) Esquistosidad plegada con clositóides no orientados. Nicoles paralelos; 50 aumentos (AH1-32)



Foto 20.- (AH-1006).- Granodiorita precoz con megacristales de
guitiriz (B4 Hc-22)



Foto 21.— (AH-1004).— Fuerte crenulación de la esquistosidad principal en los esquistos ordovícicos. CNG término de Bahamonde (B4 Hc-30) *O₂₋₃*



Foto 22.- (AH-1004).- Pliegues de la S_1 en los esquistos ordovíci-
cos de la CNG tramo Bahamonde-Guitiriz
(B4 Hc-24) 02-3

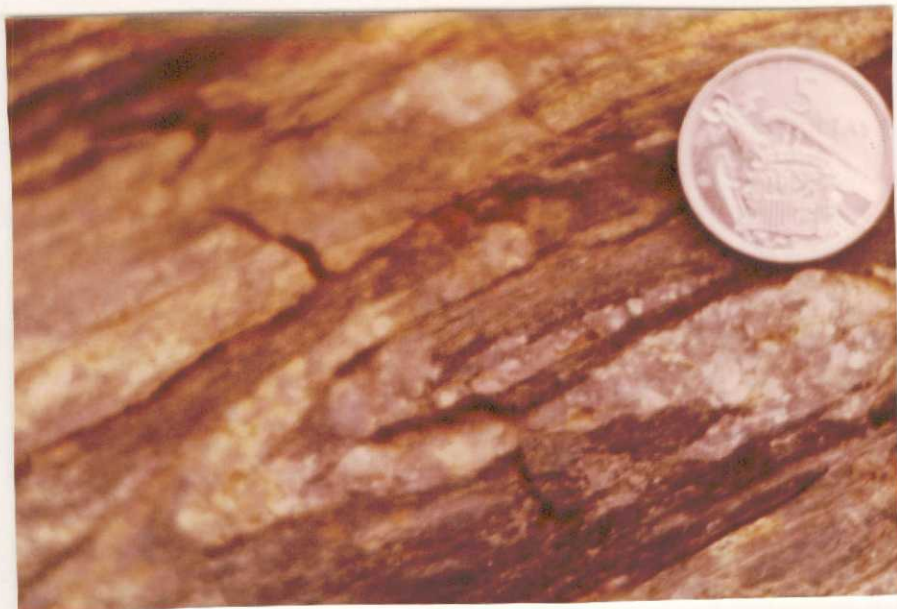


Foto 23.- (AH-1004).- Detalle de micropliegue de un filón de cuarzo en la serie ordovícica de Guitíriz-Bahamonde (B4 Hc-26)



Foto 24.- (GL-1001).— Fase tardía puesta de manifiesto por pliegues en Chevrón y kink-bands de plano axial subhorizontal en los esquistos silúricos. Carr. Vialba-Bahamonde PK 9.500; (5 GL-9)

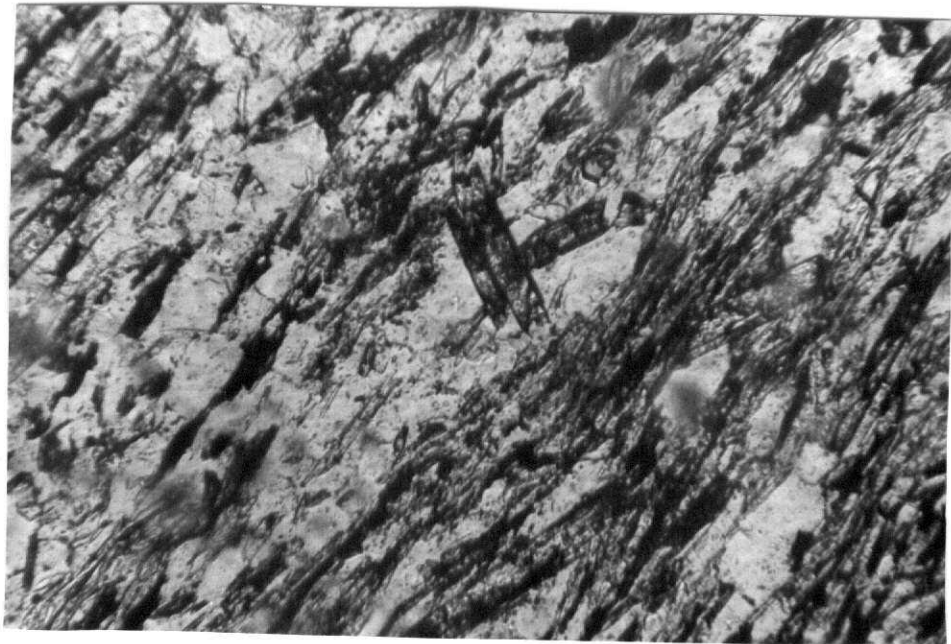


Foto 7.— (TD-249).— Esquisto de moscovita, cuarzo y cloritoide. Este último es posterior a la deformación que origina la esquistosidad principal apreciable en la fotografía. Nícales paralelos 50 aumentos. (AH1-36)

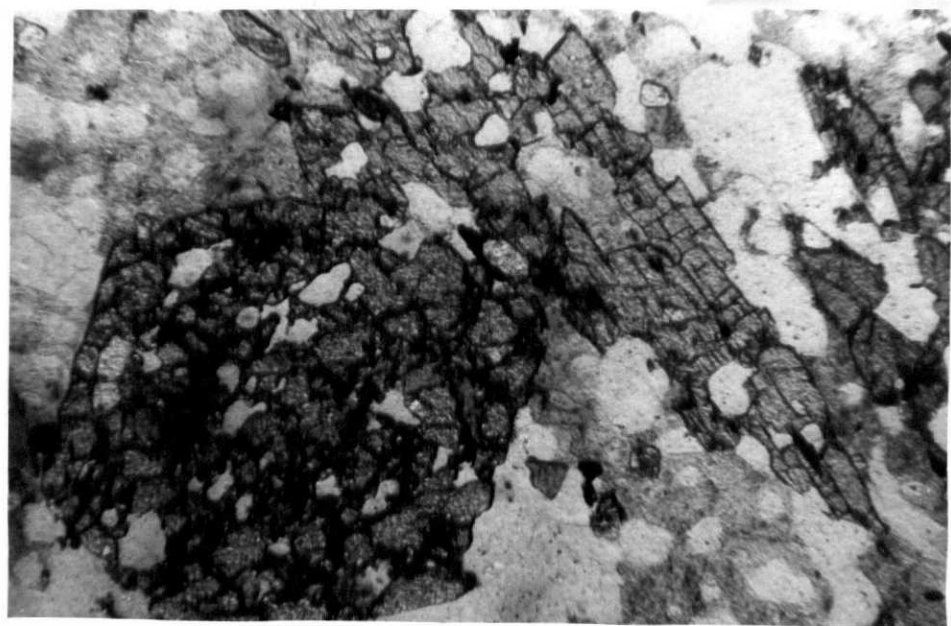


Foto 8.- (TD-77).— Neis anfibólico característico de la serie de Villalba. Granate y anfibol. Nicos paralelos; 50 aumentos (AH1-35)

-20047

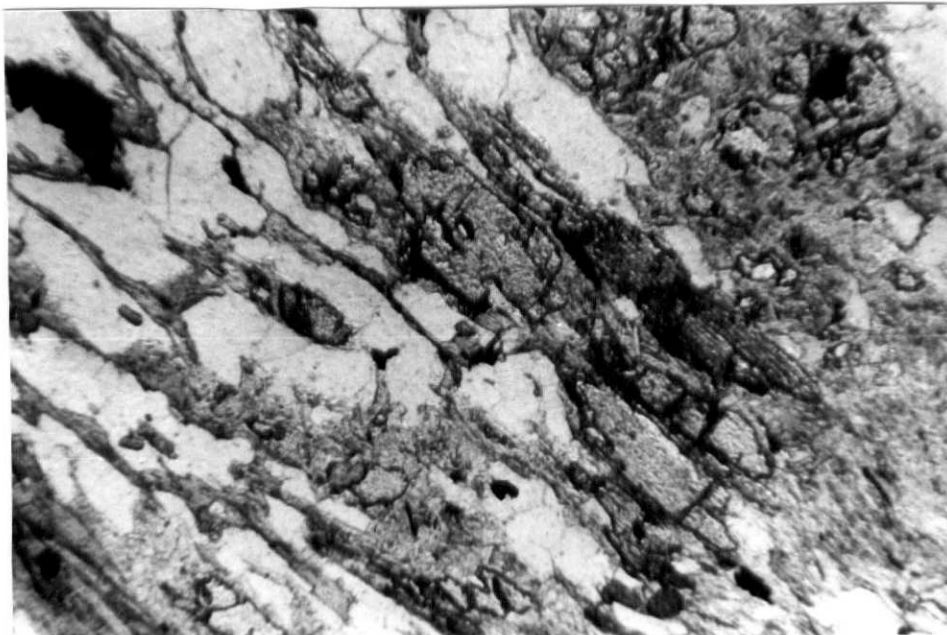


Foto 9.- (TD-121).- Esquisto con estaurolita, andalucita, cuarzo y micas. Nicoles paralelos, 50 aumentos (AH1-34)